

論文
14-2-1

Analog 電子計算機에 依한 3相 整流 波形의 解析

(Analysis of Three-phase Rectified Wave Forms by Analog Computer)

梁興錫* · 朴旻鎬**
(Hung Suk Yang · Min Ho Park)

ABSTRACT

This paper describes the commutation current and ignition angle of current which occurs in the combination of silicon rectifier with synchronous generator when the constants of rectifier circuits parameters are changed. This is precisely accomplished by setting-up the analog computer with voltage generating circuits and non-linear elements circuits. When the characteristics of rectification are properly selected in the simulation, this method is able to extend to the connection of SCR and electric machinery. We also expect that this method is helpful to the investigation of characteristics, and design of alternating exciters, self-excited synchronous generators instead of D-C machines.

1. 序論

整流器를 포함한 회로의 解析은 水銀整流器의 理論으로서 자세히 研究되어 있으나, 최근 silicon整流素子의 발달에서 이 整流素子와 同期發電機의 결합에 의해 直流電流를 사용하는 예가 많다. 이때에 發電機의 設計 및 特性를 알아내기 위해서는 整流電流의 정밀한 검토가 필요하다.

이 경우의 整流電流의 數學的 解析에서 數值上의 결과를 얻기는 너무나 복잡하고, 또한 oscilloscope에 의한 解析은 被試驗回路 定數의 變更에 따르는 操作의 불편과, 測定值의 誤差가 많아 진다.

本研究는 이러한 것을 고려하여 定數 變更이 편리하고, 記錄이 정확한 Analog 電子計算機에 의해 解析을 하였다. 즉 發電機 3相半波整流回路를 블럭線圖로 고치고, 電壓發生回路, 非線型素子回路를 附加하여 計算

機에 simulation回路를 set-up 하고 整流回路定數를 변화시키는 경우의 整流電流의 轉流期間, 電流點孤角등을 정학하게 파악하고자 한다.

2. 整流回路 및 整流電流

研究對象으로 혼이 사용되고 있는 交流動磁機回路를 취하고, 그것은 그림 1과 같이 同期發電機와 整流素子로 구성되어 있다. 그림 2는 이 機械의 3相半波整流回路를 표시한 것이다.

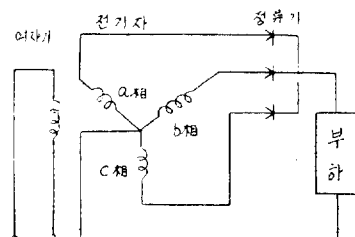


그림 1. 同期發電機 整流回路

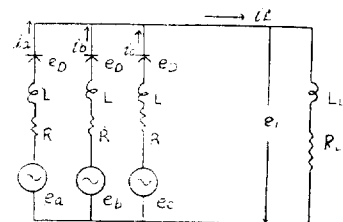


그림 2. 3相半波整流回路

發電機의 3相誘起電壓 e_a, e_b, e_c 를 正弦波라 하고, 또 各相電流를 i_a, i_b, i_c 라고 하자. 그림 2. 그림 3에서 아는 바와 같이 相 및 負荷의 인덕坦스 L, L_L 및 抵抗 R, R_L 때문에 轉流期間(commutation period)에서는 電流 i_a 는 서서히 감소하고, 한편 다음에 負荷에 분담할

*서울工大 教授 · 正會員

Professor,
College of Engineering,
Seoul National University

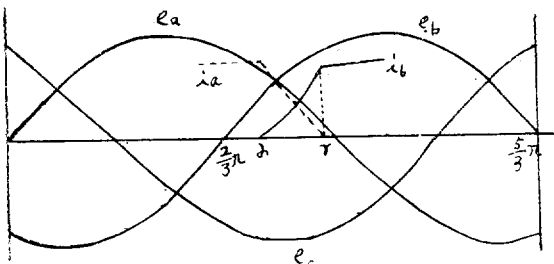


그림 3. 整流電流, 電壓 關係

相電流 i_b 는 서서히 증가하게 된다. 이때는 두 相이 並列로 電流를 分擔하는 셈이된다. 이 期間이 지나가면 b 相이 전적으로 電流를 부담한다. 이 期間을 單獨期間이 타 하자. 따라서 回路의 電壓方程式을 轉流期間과 單獨期間의 두 부분으로 구분하고 다음과 같이 표시하였다.

轉流期間에서는

$$\left. \begin{aligned} e(t)_a &= [R+L_p] i(t)_a + [R_l+L_l P] [i(t)_a + i(t)_b] \\ e(t)_b &= [R+L_p] i(t)_b + [R_l+L_l P] [i(t)_a + i(t)_b] \end{aligned} \right\} \quad (1)$$

單獨期間에서는

$$e(t)_b = [R+L_p] i(t)_b + [R_l+L_l P] i(t)_b \quad (2)$$

여기서 $p=d/dt$

$$\left. \begin{aligned} e(t)_b &= \sqrt{2} E \sin(wt - \frac{2}{3}\pi) (U_1 - U_2) \\ e(t)_b &= \sqrt{2} E \sin(wt - \frac{2}{3}\pi) (U_2 - U_3) \end{aligned} \right\} \quad (3)$$

이고, U_1, U_2, U_3 是 step函數이고

$$U_1 \equiv u\left(t - \frac{2n\pi + 2/3\pi}{w}\right)$$

$$U_2 \equiv u\left(t - \frac{2n\pi + r + 2/3\pi}{w}\right)$$

$$U_3 \equiv u\left(t - \frac{2n\pi + 5/3\pi}{w}\right)$$

$$n=0, 1, 2, \dots$$

이 된다. 즉 轉流가 완전이 끝난 角을 r 로 하고, $e(t)_a$ 는 $e(t)_b$ 보다 $(2/3)\pi$ 앞선 경우이고 위의 식과 같은 형식을 취하게 된다.

轉流期間 및 單獨期間의 b 相의 電流를 구하면¹⁾

$$\frac{2}{3}\pi < \theta < r + \frac{2}{3}\pi \text{ (轉流期間)에서}$$

$$\begin{aligned} i(\theta)_b &= \frac{\sqrt{2} E \cos \frac{\pi}{3}}{[(R+2R_l)^2 + w^2(L+2L_l)^2]^{1/2}} \left[\sin(\theta + \frac{\pi}{3} - \varphi_{k1}) \right. \\ &\quad \left. - \sin\left(\frac{\pi}{3} - \varphi_{k1}\right) e^{-K_1 \frac{\theta}{w}} \right] \\ &\quad - \frac{\sqrt{2} E \sin \frac{\pi}{3}}{(R^2 + L^2)^{1/2}} \left[\cos(\theta + \frac{\pi}{3} - \varphi_{k0}) - \cos\left(\frac{\pi}{3} - \varphi_{k0}\right) e^{-K_0 \frac{\theta}{w}} \right] \end{aligned}$$

$$+ i(0) \frac{e^{-K_1 \frac{\theta}{w}} - e^{-K_0 \frac{\theta}{w}}}{2} \quad (4)$$

$$r + \frac{2}{3}\pi < \theta < \frac{5}{3}\pi \text{ (單獨期間)}$$

$$\begin{aligned} \bar{i}(\theta)_b &= \frac{\sqrt{2} E}{[(R+R_l)^2 + w^2(L+L_l)^2]^{1/2}} \left[\sin(\theta - \varphi_k) - \sin(r \right. \\ &\quad \left. - \varphi_k) e^{-K \frac{\theta - r}{w}} \right] \\ &\quad + i(0) e^{-K \frac{\theta - r}{w}} \quad (5) \end{aligned}$$

여기서

$$K_1 = \frac{R+2R_l}{L+2L_l}, \quad K_0 = \frac{R}{L}, \quad K = \frac{R+R_l}{L+L_l}$$

$$\tan \varphi_{k1} = \frac{w}{K_1}, \quad \tan \varphi_{k0} = \frac{w}{K_0}, \quad \tan \varphi_k = \frac{w}{K}$$

$i(0), \bar{i}(0)$ 各期間에서의 初期電流

식(4), 식(5)를 曲線으로 표시하면 대체로 그림 4와 같은 波形이 된다.

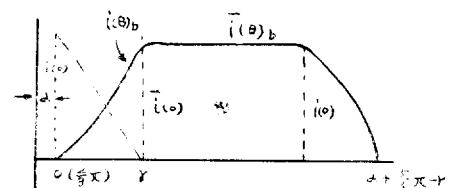


그림 4. b 相의 整流電流의 波形

식(4)에서 $\theta=r$ 이면 $i(\theta)_a=\bar{i}(0)$ 가 되고, $\theta=\alpha+\frac{2}{3}\pi-r$ 에서는 식(5)의 $i(\theta)_b$ 는 $i(0)$ 가 된다. 그런데 보통 3 相半波回路에서는 $i(0)=\bar{i}(0)$ 이므로 두 식에서 初期電流가 除去되기 때문에 r 의 값이 결정되나, 이러한 값의 변화는 回路의 $R/L, R_l/L_l$ 的 변화가 있기 때문이다.

다음 電流가 흐르기 시작하는 角 α 를 결정하여 보자. 문제를 간단히 하기 위해 負荷電流를 일정하다고 가정하자.

식(1)에서

$$e(t)_b - e(t)_a = R[i(t)_b - i(t)_a] + LP[i(t)_b - i(t)_a]$$

負荷電流를 I_l 라고 하면

$$i(t)_a = I_l - i(t)_a \quad (6)$$

혹은

$$pi(t)_a = 0 - pi(t)_b$$

따라서

$$e(t)_b - e(t)_a = R[2i(t)_b - I_l] + 2Lpi(t)_b$$

그런데 $e(t)_b - e(t)_a$ 는 線間電壓이고 誘起電壓을 基準으로 취하면 $\sqrt{3} \cdot \sqrt{2} E \sin(wt - 30^\circ + \alpha)$ 가 된다.

여기서 $wt=0$ 일때 $i_b=0$ 이고, 위의 식은

$$\sqrt{3}(\sqrt{2}E)\sin(-30^\circ + \alpha) = -RI_b + 2Lpi(t)_b \quad (7)$$

이 되고 α 를 구하면 다음과 같다.

$$\alpha = 30^\circ + \sin^{-1} \left[\frac{-RI_b + 2Lpi(t)_b}{\sqrt{3}(\sqrt{2}E)} \right] \quad (8)$$

이것이 相電壓을 基準으로 할 때 相電流가 흐르기 시작하는 電流點孤角이 된다.

보통 $RI_b > 2Lpi(t)_b$ 이고 \sin^{-1} 의 角은 (-)가 된다. 따라서 α 는 30° 이내의 값이 될 것이다. 식(4), 식(5), 그리고 식(8)에서 r , α 의 角이 표시되나, 주위에서 들어오는 여러 가지 要素때문에 數值의 計算이 복잡하다. 다만 알수 있는 경향은 r 는 發電機 및 負荷의 定數에 의해 결정되고, α 는 대체로 發電機回路의 定數에 의해 결

정된다는 것을 알 수 있다.

3. Analog 電子計算機回路

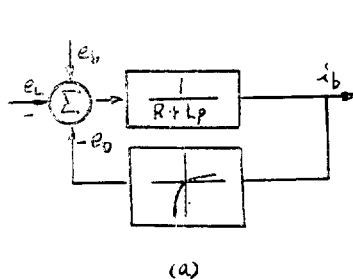
整流素子의 正方向電壓降下를 e_d 라고 하면 電壓方程식은 식(1)에 ed 를 추가하여

$$e(t) - [Ri(t) + Lpi(t)] - ed = e_t \quad (9)$$

e_t 는 負荷回路의 電壓이고

$$e_t = L_i P_i(t) + R_i(t) i \quad (10)$$

로 표시된다. 식(9)의 $Ri(t) + Lpi(t) = ex$ 는 卷線의 電壓이고 식(10)의 불력 線圖는 그림 5 와 깊이 된다.



(a)

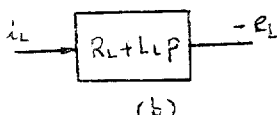


그림 5. 식(9)의 불력線圖

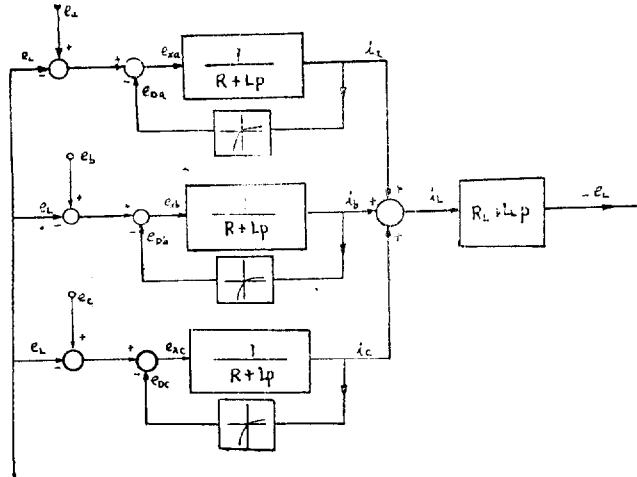


그림 6. 3相半波整流回路의 불력線圖

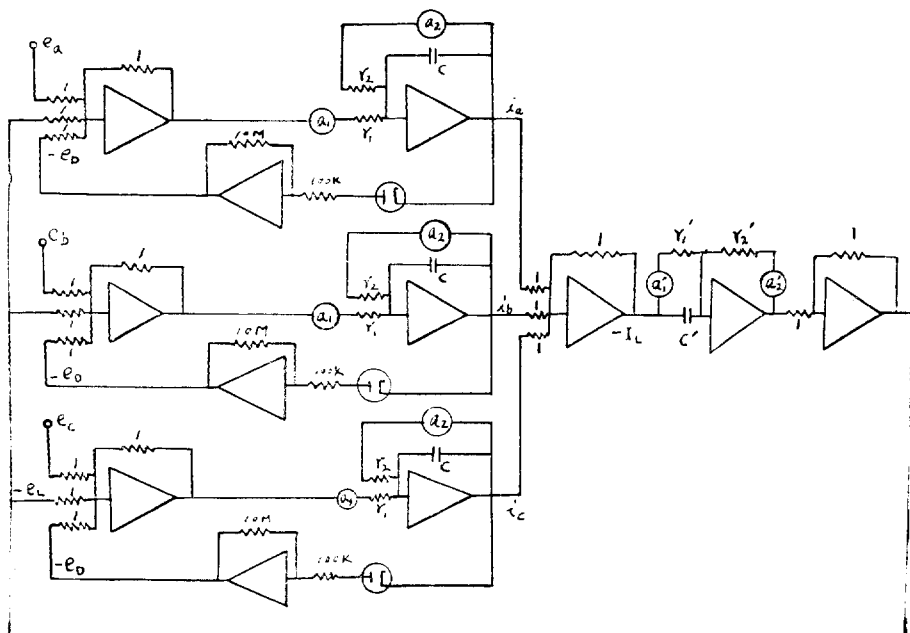


그림 7. 3相半波整流回路의 computor set 回路

그림 5a의 피드백 회로의特性은 整流素子의 模擬特性을 표시한다. 따라서 3相半波回路全體의 불턱線圖는 그림 6에 표시한다.

이 線圖를 analog 電子計算機에 씨뮤레이트 시키면 그림 7과 같이 된다.

여기서 整流素子特性의 非線型을 線型化시켜서 해석하여야 한다. 지금 그림 8과 같은 演算回路를 구성시키면 演算增幅器의 入力 e_i 가 $e_i > 0$ 의 경우는 電子管 diode는 電流가 흐르지 못하고 内部抵抗 r_d 는 거의 無限大에 가까운 큰抵抗과 같으므로 演算回路式은

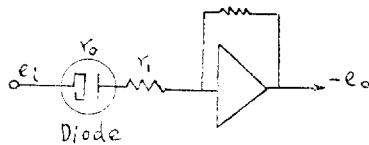


그림 8. 非線型整流素子의 等價回路

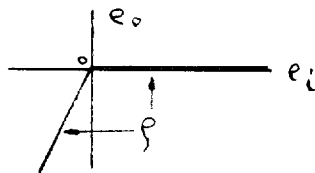


그림 9. 整流素子의 電壓-電流等價特性

$$-e_o = \frac{r_2}{r_1 + r_d} e_i = 0 \quad (11)$$

이 되고 그림 9의 e_i 軸上에 $e_i \sim e_o$ 의 曲線이 있게 된다.

다음 $e_i < 0$ 의 경우 diode의抵抗은 零에 가까우며, 이 때의 演算式은

$$-e_o = \frac{r_2}{r_1 + r_d} = \frac{r_2}{r_1} e_i \quad (12)$$

이다. r_2/r_1 의 傾斜率를 가지는 $e_i \sim e_o$ 曲線은 그림의 ρ 直

線에 해당된다. 이 全體曲線이 整流素子의 整流特性을 나타내고, 불턱線圖의 씨뮤레이션이 가능하다.

다음 發電機卷線의 誘起電壓 e_a , e_b , e_c 의 發生裝置를 설명하자. 각각의 電壓을 다음과 같이 표시하여 보면

$$e_a = \sqrt{2} E \sin wt = 2X$$

$$e_b = \sqrt{2} E \sin(wt - \frac{2}{3}\pi) = -X - Y \quad (13)$$

$$e_c = \sqrt{2} E \sin(wt - \frac{4}{3}\pi) = -X + Y$$

이때에는

$$X = \frac{\sqrt{2} E}{2} \sin wt, \quad Y = \frac{\sqrt{2} \sqrt{3} E}{2} \cos wt \quad (14)$$

이 된다 X , Y 發生器의 set-up 은 그림 10과 같이 된다.

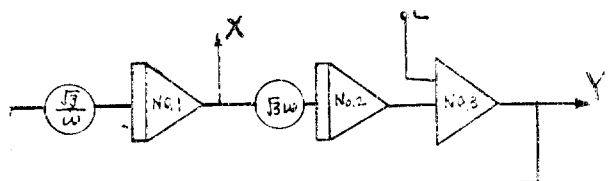


그림 10. 3相電壓의 發生演算回路

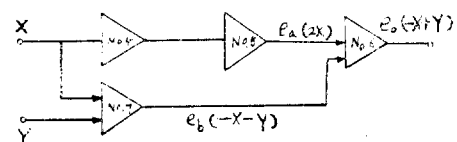


그림 11. e_a , e_b , e_c 의 演算回路

여기서 初期條件 C 는 $wt=0$ 에서 구해지고 그 値은 $\sqrt{2} \sqrt{3} E/2$ 이다. 이 X , Y 를 사용하여 그림 11의 演算回路를 만들면 3相交流電源을 얻을 수 있다. 따라서 그림 10과 그림 11의 全體計算機의 set-up 은 그림 12와 같다.

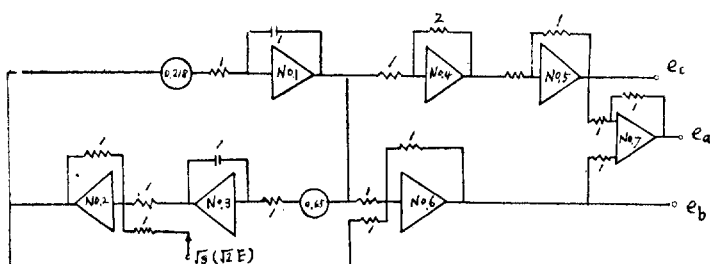


그림 12. 3相正弦波電壓의 計算機

4. 實驗結果

(1) 實驗測定值

實驗裝置에는 低速型 analogy 電子計算機 Donner Model 3000에 整流方程式을 풀기 위해 電壓正弦發生器, 演算增幅器, 模擬整流素子特性回路를 追加하였다.

그림 13은 이 實驗裝置의 外觀이다.

그림 14는 G.E. 製發電機의 定數 $R=0.5[\Omega]$ $L=4$



그림 13. 實驗裝置의 外觀

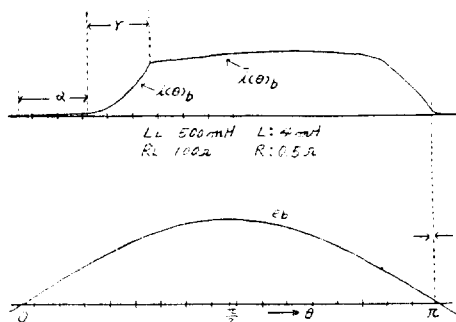


그림 14. Analogy 電子計算機에 의한 相電流波形

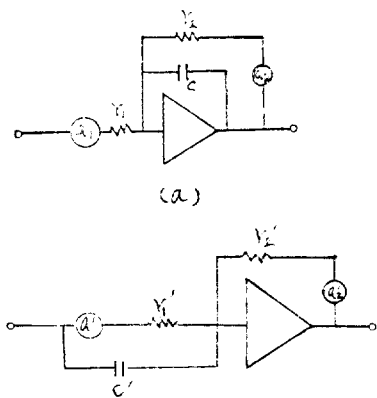


그림 15. 定數變更增幅器

[mH]에다 負荷 $R_L=100[\Omega]$, $L_L=500[\text{mH}]$ 를 사용한 경우의 analog 電子計算機에 의한 1相整流電流와 相電壓을 표시하였다. 그림에서 ϵ_b 는 正弦波誘起電壓이고 相整流電流는 위의 曲線이 된다. 따라서 電壓을 基準으로 하는 電流點弧角 α , 整流期間 γ 도 scale에 의해 組정된다. 이때의 電機子回路와 負荷回路의 re-set을 표시하면 그림 15와 같고, 負荷定數變更의 경우는 그림 (a)를 固定시키고 그림 (b)의 a'_1 , a'_2 를 變更시키면 R_L 가 여려가지 값으로 나타난다. 그림 14의 경우는

$$R=0.5[\Omega] \quad \text{일때}$$

$$L=4[\text{mH}]$$

r_1	r_2	a_1	a_2	c
0.1	1	$0.0025 \times \alpha_i$	0.0125	0.1

$$L_L=500[\text{mH}] \quad \text{일때}$$

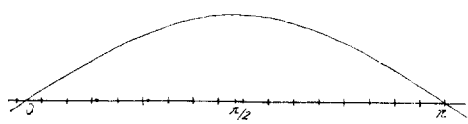
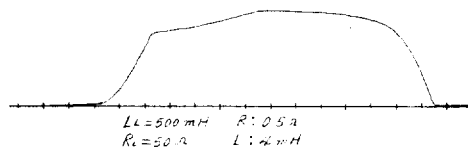
$$R_L=100[\Omega]$$

r'_1	r'_2	a'_1	a'_2	c'
1	1	0.2	$0.002 \times \alpha_i$	-

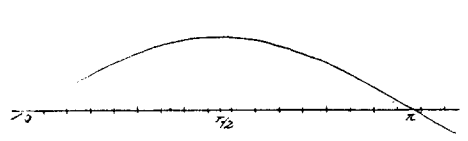
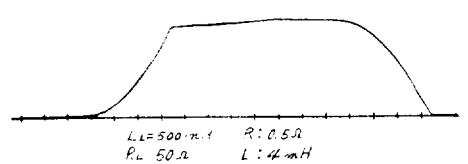
여기서 α_i 는 電流의 scale factor 가 된다.

(a) 轉流期間 γ 의 測定值

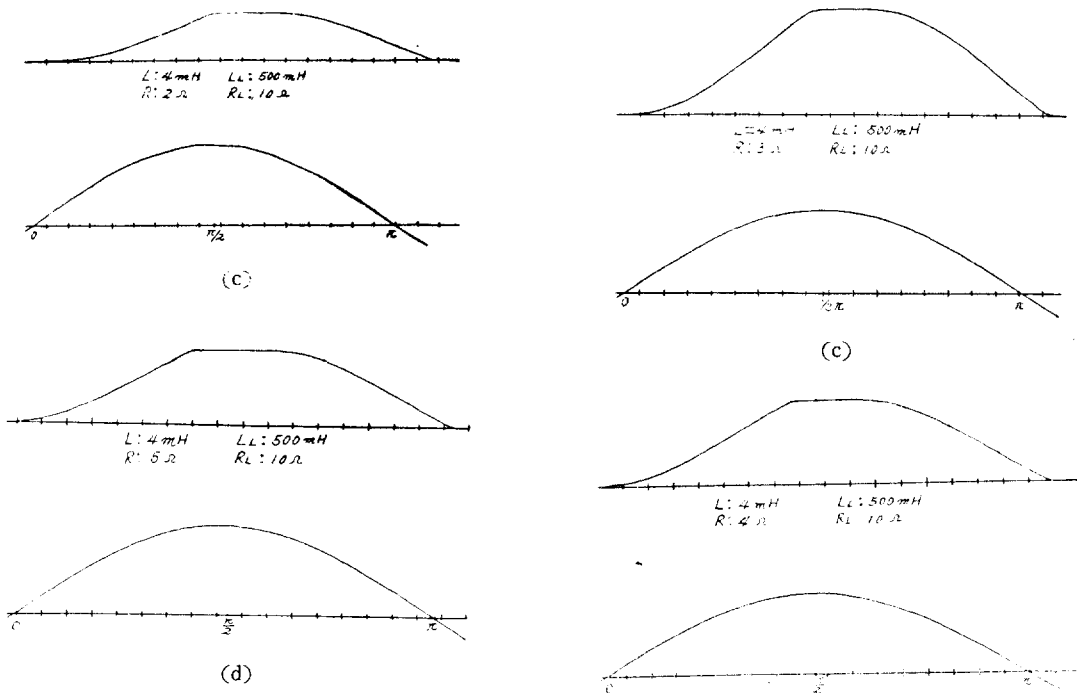
電機子回路定數 $R=0.5[\Omega]$ $L=4[\text{mH}]$ 인 경우 R_L/L_L 의 變化에 따른 α , γ 의 變化를 조사하면 그림 16과 같다.



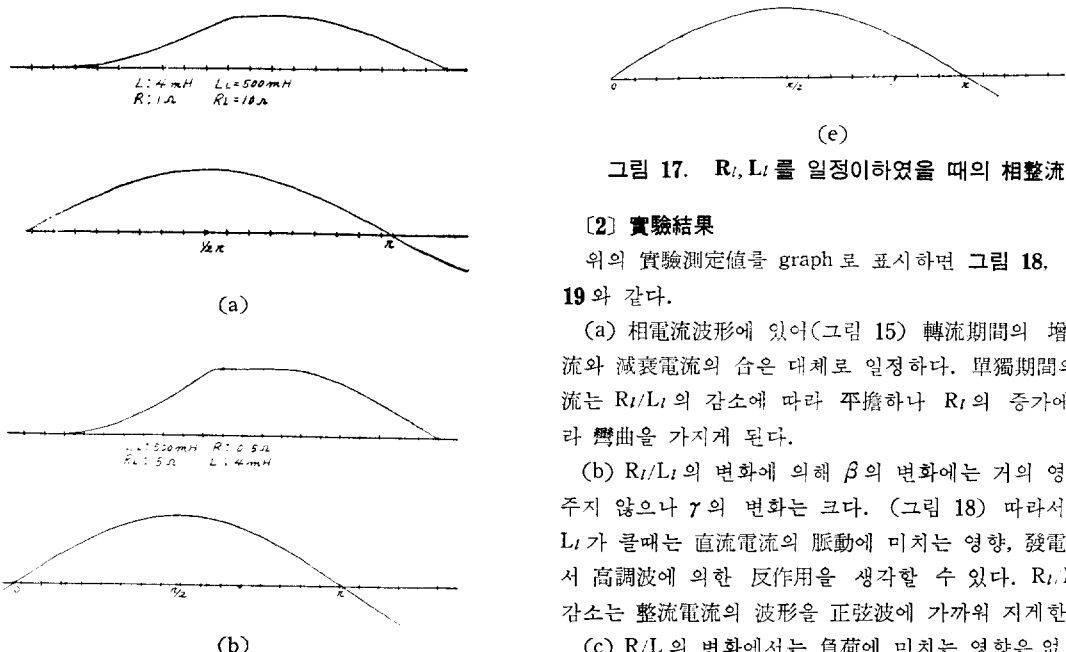
(a)



(b)

그림 16. R, L 를 일정이 하였을 때의 相整流電流(b) 電流點弧角 α 의 測定

負荷回路의 定數 $L_L=500[\text{mH}] R_L=10[\Omega]$ 로 고정하고 電機子定數 R/L 를 변화시키는 경우의 α, γ 的 변화를 조사하면 그림 17 과 같다.

그림 17. R_L, L_L 를 일정이하였을 때의 相整流電流

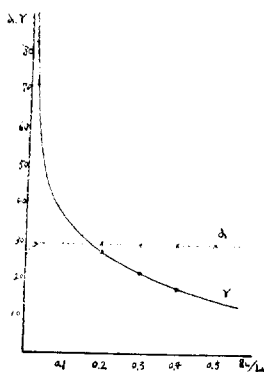
[2] 實驗結果

위의 實驗測定值를 graph 로 표시하면 그림 18, 그림 19 와 같다.

(a) 相電流波形에 있어(그림 15) 轉流期間의 增加電流와 減衰電流의 合은 대체로 일정하다. 單獨期間의 電流는 R_L/L_L 的 감소에 따라 平擔하나 R_L 的 증가에 따라 曲線을 가지게 된다.

(b) R_L/L_L 的 变化에 의해 β 的 变化에는 거의 영향을 주지 않으나 γ 的 变化는 크다. (그림 18) 따라서 R_L/L_L 가 클때는 直流電流의 脈動에 미치는 영향, 發電機에서 高調波에 의한 反作用을 생각할 수 있다. R_L, L_L 的 变化는 整流電流의 波形을 正弦波에 가까워 지게 한다.

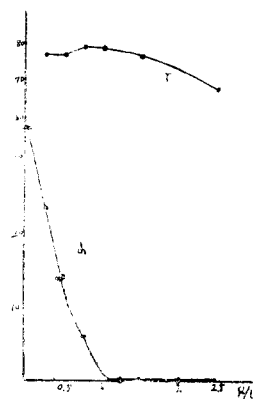
(c) R/L 的 变化에서는 負荷에 미치는 영향은 없고,

그림 18. R_L/L_L 의 변화에 따른 α, γ

值는 거의 일정하고, α 에 미치는 영향이 크다. α 의 最大角은 30° 이고, R/L 가 크면 $\alpha=0$ 으로 된다. 이러한 角의 변화는 發電機에서의 力率를 생각하여야 한다.

5. 結論

이상에서 설명한 analog 電子計算機에 의한 整流電流波形의 解析에서 특히 固路定數의 변화에 의한 轉流期間, 電流點弧角을 이 方法을 사용하여 정밀하게 또 쉽게 測定할 수 있다. 씨류레이션에 있어 整流特性을 적당히 선택하면 SCR 와 電氣機器의 연결에도 이 方法을 擴張할 수 있다.

그림 19. R/L 的 변화에 따른 α, γ

直流機 대신 交流勵磁機, 또 自勵同期發電機의 勵磁回路의 設計, 特性 調査에 도움이 되리라고 생각된다.

本研究는 1964年 서울大學校 工科大學 研究補助金에 의해 實施되었다.

參考文獻

- 1) Takeuchi : J.I.E.E. of Japan, Vol. 84-4, 1964
- 2) W.J. Shilling : A.I.E.E. Transactions Vol. 79 Part II pp 394~401, 1960
- 3) Jackson(Book) : Analog computation, McGraw-Hill
(1965年 5月 3日 接受)